

Министерство высшего и среднего специального образования РСФСР

Горьковский ордена Трудового Красного Знамени
научно-исследовательский радиопизический институт (НИРФИ)

П р е п р и н т № 237

ОСНОВЫ ТЕОРИИ ЭЛЕКТРИЧЕСКИХ ВИБРАТОРНЫХ АНТЕНН
В ПЛАЗМЕ

Ч а с т ь I

Докучаев В.П.

Крупина А.Е.

Оболенский Л.М.

Яшнов В.А.

Горький 1987

Докучев В.П., Крушина А.Е., Оболенский Л.М., Яшнов В.А.

ОСНОВЫ ТЕОРИИ ЭЛЕКТРИЧЕСКИХ ВИБРАТОРНЫХ АНТЕНН В ПЛАЗМЕ.//
Препринт № 237. - Горький, НИРФИ. - 1987.

- 41 с.

УДК 621. 396. 67

Рассмотрены основные вопросы теории линейных электрических антенн, помещенных в плазму. В приближении заданных электрических токов определены характеристики и параметры антенн ("внешняя" задача). Описаны методы расчета входного импеданса антенн; найден импеданс симметричного электрического вибратора в холодной магнитоактивной плазме.

Обсуждается влияние слабой пространственной дисперсии на излучение электромагнитных и плазменных волн в изотропной среде. Рассмотрены некоторые вопросы излучения электромагнитных волн в холодной магнитоактивной плазме. Для случая изотропной плазмы анализируется "внутренняя" задача излучения - расчет тока в электрической вибраторной антенне.

В в е д е н и е

Антенные устройства предназначены для излучения и приема радиоволн. Передающие антенны преобразуют подводимые к ним от передатчика электромагнитные колебания в излученные электромагнитных волн. В приемных антеннах, наоборот, электромагнитные волны преобразуются в электрические колебания токов и зарядов, которые регистрируются приемниками. В 1887 г. Генрих Герц впервые использовал дипольную антенну (диполь Герца) для экспериментальной проверки и подтверждения электромагнитной теории Максвелла.

Антенны являются важной составной частью многих радиотехнических устройств, используемых для целей радиосвязи, радиолокации, радионавигации и радиозондирования [1, 2]. Помимо наземной радиосвязи в последние годы различные виды антенн находят широкое применение для связи с подземными, подводными и, особенно, космическими объектами, находящимися в средах, электрические параметры которых значительно отличаются от соответствующих параметров воздуха; широкое применение антенны нашли в геофизических и медикобиологических исследованиях [3, 4].

Окружающая антенну среда при определенных условиях оказывает существенное влияние на характеристики антенн. Это позволяет использовать антенны для целей диагностики различных сред. Например, радиозонд, помещенный в плазму, позволяет измерять многие параметры плазмы - температуру электронов и ионов, концентрацию заряженных частиц и т.д.

В силу принципа взаимности передающую антенну можно использовать для приема электромагнитных волн, а приемную - для излучения.

Разнообразие конструкций антенных систем столь велико, что здесь невозможно описать и даже перечислить их особенности. Поэтому будут рассмотрены в основном простейшие излучатели - электрические вибраторы (линейная проволочная антенна, элементарные диполи). В некоторых случаях используются и магнитные диполи - рамки с эле-

трическим током. Современные сложные антенные системы - антенные решетки - состоят из набора идентичных электрических вибраторов. Например, фазированные антенные решетки (ФАР), позволяющие управлять положением и параметрами диаграммы направленности, получили наиболее широкое распространение в современной технике СВЧ. Не менее сложными являются антенные системы радиотелескопов [5 - 7]. Принцип действия радиотелескопа тот же, что и оптического: он собирает в металлическом отражателе (изогнутом "зеркале") энергию падающих электромагнитных волн и направляет ее в приемник. Диаметр антенной чаши крупнейшего радиотелескопа в Аресибо (Пуэрто-Рико) составляет 300 м.

Если характерные геометрические размеры антенной системы меньше длины электромагнитной волны в окружающей среде, то принято говорить об элементарных излучателях - электрическом и магнитном диполе, квадруполе и т.д.

Основными параметрами приемо-передающих антенн являются диаграмма направленности, входной импеданс и коэффициент полезного действия (К.П.Д.). Вторичные параметры антенны - коэффициент направленного действия (КНД), ширина главного лепестка диаграммы направленности, уровень боковых лепестков, сопротивление излучения, рабочая полоса частот.

Приемные антенны характеризуют теми же параметрами, что и передающие. Однако, для приемных антенн вводятся дополнительные характеристики (параметры): эффективная площадь для апертурных антенн и действующая высота (длина) - для линейных проволочных антенн; эффективная шумовая температура антенны, помехозащищенность.

В связи с быстрым развитием космической техники в настоящее время большое внимание уделяется изучению характеристик антенн, находящихся в плазме. Установленные на борту космических аппаратов антенны позволяют не только осуществить радиосвязь, но и исследовать параметры ионосферной, магнитосферной и межпланетной плазмы [8]. Имеется значительное число публикаций, посвященных расчетам параметров антенны, расположенной в плазме (см., например, [9 - 12]).

Цель данной работы - изложить основы теории линейных электрических антенн в плазме, продемонстрировать влияние плазмы на такие характеристики антенн, как входной импеданс и диаграмма направленности.

Здесь будут рассмотрены основные вопросы теории линейных электрических антенн, помещенных в плазму. Все рассмотрение ведется на примере симметричного электрического вибратора. Известно, что теория антенн подразделяется на две части: более сложная "внутренняя задача" теории состоит в нахождении функций распределения плотности высокочастотных электрических токов $\vec{j}_3(\vec{R})$ излучающей системы. "Внешняя задача" заключается в нахождении электромагнитных полей по известному распределению плотности электрических токов. "Внутренняя задача", как правило, сводится к интегральному или интегродифференциальному уравнению для электрических токов в антенне с учетом граничных условий и условий возбуждения ("запитки") антенны [1, 2, 4, 13].

Такое разделение удобно и полезно в целом ряде случаев. Например, в теории излучения электромагнитных волн при движении заряженных частиц малых размеров (черенковское, переходное и магнитотормозное излучение) рассматривается только "внешняя задача", по существу, без учета влияния сил реакции излучения на движение частиц [14, 15]. Иное положение имеет место в теории синтеза антенн, когда по заданным параметрам электромагнитного поля требуется найти распределение электрических токов, и в конечном итоге, отыскать соответствующую конструкцию антенной системы.

Содержание состоит из трех разделов. В первом разделе изучается работа антенн в холодной изотропной плазме. Здесь в приближении заданных электрических токов определяются все основные характеристики и параметры антенн в плазме ("внешняя задача"). Во втором параграфе сформулирована и изучена "внутренняя задача" теории линейных (проволочных) антенн - составлено интегродифференциальное уравнение для тока в антенне и указаны способы его приближенного решения.

Во втором разделе рассматривается проблема излучения электромагнитных и электростатических (плазменных) волн в изотропной плазме с учетом теплового движения электронов в приближении слабой пространственной дисперсии [10, 16].

В третьем заключительном разделе рассмотрены некоторые вопросы излучения электромагнитных волн в холодной однородной магнитоактивной плазме. Так как окончательного решения последняя проблема не получила, то анализ её в третьем разделе не является достаточно полным и завершённым.

I. АНТЕННА В ИЗОТРОПНОЙ ХОЛОДНОЙ ПЛАЗМЕ

I.1. Основные параметры антенн в среде

Теория антенных систем и технические расчеты характеристик антенн основываются на теории электромагнитного поля. Уравнения Максвелла для гармонических процессов $\sim \exp(i\omega t)$ в системе СИ записываются в виде

$$\operatorname{rot} \vec{H} = \vec{j}_s + i\omega \vec{D}, \quad (I.1) \quad \operatorname{div} \vec{D} = \rho_s, \quad (I.3)$$

$$\operatorname{rot} \vec{E} = -i\omega \vec{B}, \quad (I.2) \quad \operatorname{div} \vec{B} = 0. \quad (I.4)$$

Здесь использованы обычные обозначения: \vec{E} и \vec{H} - напряженность электрического и магнитного поля, \vec{D} и \vec{B} - электрическая и магнитная индукции; сторонние электрические токи и заряды в антенне связаны уравнением непрерывности

$$i\omega \rho_s + \operatorname{div} \vec{j}_s = 0. \quad (I.5)$$

Материальные уравнения для сред представим в виде^{*}

$$\vec{D} = \hat{\epsilon}(\omega) \epsilon_0 \vec{E}, \quad \vec{B} = \mu_0 \vec{H}, \quad (I.6)$$

$$\hat{\epsilon}(\omega) = \epsilon_{ij}(\omega), \quad (I.7)$$

где $\hat{\epsilon}$ и ϵ_{ij} - тензор диэлектрической проницаемости среды, диэлектрическая и магнитная проницаемость вакуума

$$\epsilon_0 = 8,85 \cdot 10^{-12} \text{ Ф/м}, \quad \mu_0 = 4\pi \cdot 10^{-7} \text{ Гн/м}. \quad (I.8)$$

Если ввести вектор-потенциал \vec{A} и скалярный потенциал Φ для описания электромагнитных полей и воспользоваться калибровкой Ло-

^{*} В плазме с большой точностью $\mu = \mu_0$.

ренца, то в случае однородной изотропной среды поля через \vec{A} и Φ выразятся следующим образом:

$$\vec{B} = \mu_0 \vec{H} = \text{rot } \vec{A}, \quad (I.9) \quad \vec{E} = -\text{grad } \Phi - i\omega \vec{A}, \quad (I.10)$$

$$\omega \varepsilon \varepsilon_0 \mu_0 \Phi + \text{div } \vec{A} = 0. \quad (I.11)$$

При этом уравнения для потенциалов имеют вид

$$\Delta \vec{A} + k^2 \vec{A} = -\mu_0 \vec{j}_s, \quad (I.12)$$

$$\Delta \Phi + k^2 \Phi = -\frac{1}{\varepsilon \varepsilon_0} \rho_s. \quad (I.13)$$

Здесь использовано обычное обозначение для волнового числа в среде

$$k = k_0 \sqrt{\varepsilon}, \quad k_0 = \omega \sqrt{\varepsilon_0 \mu_0}, \quad (I.14)$$

k_0 - волновое число в вакууме. В силу калибровочного условия (I.11), достаточно найти решение основного уравнения для электромагнитных потенциалов (I.12) и определить \vec{E} и \vec{H} по формулам (I.9), (I.10).

Для произвольного распределения сторонних электрических токов в ограниченном объеме пространства решение (I.12) легко получить с помощью функции Грина с запаздывающими потенциалами [17]

$$\vec{A}(\vec{R}) = \frac{\mu_0}{4\pi} \int_{-\infty}^{\infty} \frac{\vec{j}_s(\vec{R}') e^{-ik|\vec{R}-\vec{R}'|}}{|\vec{R}-\vec{R}'|} d^3\vec{R}', \quad (I.15)$$

где \vec{R} - радиус-вектор точки пространства, в которой находится поле, \vec{R}' - радиус-вектор, по которому ведется интегрирование по распределению сторонних токов,

$$|\vec{R}-\vec{R}'| = \sqrt{(x-x')^2 + (y-y')^2 + (z-z')^2}, \quad d^3\vec{R}' = dx' dy' dz'. \quad (I.16)$$

Аналогично находим решение уравнения (I.13)

$$\Phi(\vec{R}) = \frac{1}{4\pi\epsilon\epsilon_0} \int_{-\infty}^{\infty} \frac{\rho_s(\vec{R}') e^{-ik|\vec{R}-\vec{R}'|}}{|\vec{R}-\vec{R}'|} d^3\vec{R}' \quad (I.17)$$

Выражение для полей \vec{E} и \vec{H} через потенциал (I.15) запишем в виде

$$\vec{E} = -\frac{i\omega\mu_0}{4\pi k^2} (\nabla \text{div} + k^2) \int_{-\infty}^{\infty} \frac{\vec{j}_s(\vec{R}') e^{-ik|\vec{R}-\vec{R}'|}}{|\vec{R}-\vec{R}'|} d^3\vec{R}' \quad (I.18)$$

$$\vec{H} = \frac{1}{4\pi} \text{rot} \int_{-\infty}^{\infty} \frac{\vec{j}_s(\vec{R}') e^{-ik|\vec{R}-\vec{R}'|}}{|\vec{R}-\vec{R}'|} d^3\vec{R}' \quad (I.19)$$

Пусть электрические токи занимают ограниченную область пространства с максимальным характерным размером L , т.е. $R' = \sqrt{x'^2 + y'^2 + z'^2} \leq L$. В этом случае волновая зона (зона Фраунгофера) системы сторонних токов расположена на расстоянии R , удовлетворяющем условию [17]

$$kL^2 \ll R \quad (I.20)$$

В зоне Фраунгофера выражения (I.15) и (I.17) значительно упрощаются и принимают вид

$$\vec{A}(\vec{R}) = \frac{\mu_0}{4\pi R} \vec{I}_k e^{-ikR} \quad (I.21)$$

$$\Phi(\vec{R}) = \frac{\rho_k}{4\pi\epsilon\epsilon_0 R} e^{-ikR} \quad (I.22)$$

где введены следующие обозначения для фурье-спектров плотности

$$\vec{I}_k = \int_{-\infty}^{\infty} \vec{j}_s(\vec{R}') e^{ik(\vec{n}_0 \vec{R}')} d^3\vec{R}', \quad (I.23)$$

$$\rho_k = \int_{-\infty}^{\infty} \rho_s(\vec{R}') e^{ik(\vec{n}_0 \vec{R}')} d^3\vec{R}'. \quad (I.24)$$

Здесь введены обозначения

$$\vec{n}_0 = \frac{\vec{R}}{R}, \quad (\vec{n}_0 \vec{R}') = \frac{xx' + yy' + zz'}{R}. \quad (I.25)$$

С помощью соотношений (I.9) - (I.II), (I.2I), (I.22) находим поля \vec{E} и \vec{H} в волновой зоне

$$\vec{E} = -\frac{i\omega\mu_0}{4\pi R} \left[\vec{I}_k - \vec{n}_0 (\vec{n}_0 \vec{I}_k) \right] e^{-ikR}, \quad (I.26)$$

$$\vec{H} = -\frac{ik}{4\pi R} \left[\vec{n}_0 \times \vec{I}_k \right] e^{-ikR}. \quad (I.27)$$

Таким образом, электромагнитные поля в волновой зоне полностью определяются фурье-образами сторонних электрических токов. Средняя за период $T = 2\pi/\omega$ плотность потока энергии электрического поля определяется вектором Пойнтинга

$$\vec{S} = \frac{1}{2} \left[\vec{E} \times \vec{H}^* \right], \quad (I.28)$$

(*) - означает комплексно-сопряженную величину. Подставляя в (I.28) соотношения (I.26), (I.27) находим, что

$$\vec{S} = \frac{\omega^2 \sqrt{\epsilon_0 \mu_0} \mu_0}{32\pi^2 R^2} \vec{n}_0 \left(\left[\vec{n}_0 \times \vec{I}_k \right] \cdot \left[\vec{n}_0 \times \vec{I}_k^* \right] \right). \quad (I.29)$$

Это означает, что поток энергии в сферической системе координат R ,

θ, φ (см. рис. I.I) с центром внутри области, занятой сторонними электрическими токами, в соответствии с (I.29) имеет только радиальную компоненту

$$S_r = \frac{\omega^2 \sqrt{\epsilon_0 \mu_0} \mu_0}{32 \pi^2 R^2} \left| [\vec{n}_0 \times \vec{I}_k] \right|^2. \quad (I.30)$$

В соответствии с определением функции I_k по формуле (I.23) и тем, что в сферических координатах

$$(\vec{n}_0 \cdot \vec{R}') = (x' \cos \varphi + y' \sin \varphi) \sin \theta + z' \cos \theta, \quad (I.31)$$

ясно, что интенсивность излучения S_r записывается в виде

$$S_r = W(\theta, \varphi) / R^2. \quad (I.32)$$

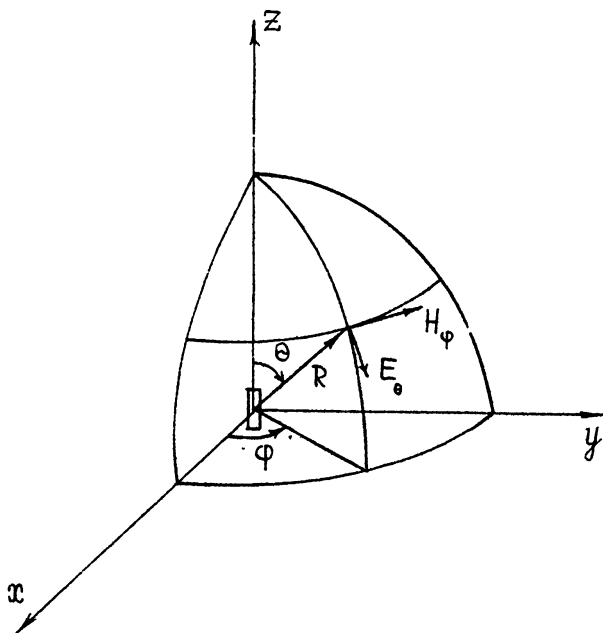


Рис. I.I

Полная мощность излучения определяется потоком энергии через сферу радиуса R [18]:

$$W_0 = R^2 \int_0^{2\pi} \int_0^\pi W(\theta, \varphi) \sin \theta \, d\theta \, d\varphi. \quad (1.33)$$

Функция $W(\theta, \varphi)$ представляет распределение радиального потока энергии по углам θ, φ в волновой зоне и называется диаграммой направленности по мощности. Таким образом, диаграмма направленности описывает мощность, излучаемую антенной в различных направлениях. Важным параметром антенны, характеризующим её свойство направлять основной поток энергии в выделенном направлении (в область главного лепестка), является коэффициент направленного действия D , который определяется соотношением [19]

$$D = \frac{\int_{\Omega} W_{\max} \, d\Omega}{\int_{\Omega} W \, d\Omega} = \frac{4\pi W_{\max}}{\int_0^{2\pi} \int_0^\pi W(\theta, \varphi) \sin \theta \, d\theta \, d\varphi}, \quad (1.34)$$

$$D = 4\pi W_{\max} / W_0, \quad (1.34')$$

где W_{\max} - мощность излучения в направлении главного максимума. Следовательно, КНД показывает выигрыш по мощности, который получается в направлении главного максимума излучения за счет концентрации энергии антенной в этом направлении и ослабления в других.

Важным параметром теории приемо-передающих антенн является сопротивление излучения R_{Σ} , которое определяется отношением мощности излучения (1.33) W_0 к квадрату силы электрического тока на входе антенны [19]

$$R_{\Sigma} = 2W_0 / I_0^2. \quad (1.35)$$

Сопротивление излучения является частью входного импеданса или полного сопротивления антенны. Ближнее поле антенны содержит реактивную часть электромагнитной мощности W_1 и, следовательно, входной импеданс антенны

$$Z_A = 2(W_0 + iW_1) / |I_0|^2 = R_\Sigma + iX. \quad (1.36)$$

Влияние входного сопротивления на работу антенны проявляется в проблеме согласования антенны с источником колебаний в передатчиках и нагрузкой в приемниках. На рис. 1.2 схематически представлена электрическая цепь в антенне с прямо-передающим устройством:

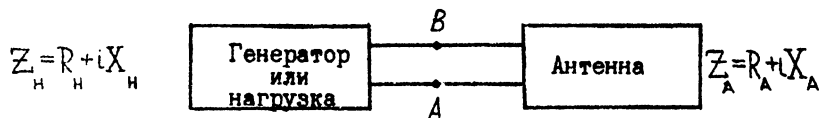


Рис. 1.2

Z_A - входной импеданс антенны, Z_H - импеданс нагрузки. I через нагрузку определяется выражением

$$I = \frac{U}{Z_A + Z_H} = \frac{U}{(R_A + R_H) + i(X_A + X_H)}, \quad (1.37)$$

где U - напряжение холостого хода генератора. Мощность, передаваемая нагрузке

$$P = \frac{1}{2} R_H I I^* = \frac{R_H U^2}{2[(R_A + R_H)^2 + (X_A + X_H)^2]}. \quad (1.38)$$

Максимальная мощность передается в нагрузку при условии

$$X_A = -X_H, \quad R_A = R_H. \quad (1.39)$$

При этом $P_{\max} = U^2 / 8R_A$. Следовательно, условие согласования антенны с прямо-передающим трактом записывается в виде

$$Z_H = Z_A^*. \quad (1.40)$$

В антенной системе вносятся собственные омические потери и омическое сопротивление R_n , поэтому

$$R_A = R_\Sigma + R_n. \quad (1.41)$$

В связи с этим для антенн вводится коэффициент полезного действия

$$\eta = \frac{R_{\Sigma}}{R_{\Sigma} + R_{\Pi}}, \quad (1.42)$$

который характеризует эффективность преобразования энергии в излучение и, наоборот, излучения в энергию приёма.

С коэффициентами направленного действия D и полезного действия η просто связан коэффициент усиления антенны

$$G = D \cdot \eta \quad (1.43)$$

Коэффициент усиления антенны указывает во сколько раз нужно увеличить входную мощность при замене направленной антенны с потерями на изотропную ненаправленную антенну без потерь при условии сохранения постоянного максимального значения мощности излучения W_{max} .

В случае линейного распределения электрического тока из соотношения (1.26) можно получить следующее представление для электрического поля в волновой зоне [2]

$$\vec{E} = \frac{Z_c}{2\lambda} h_g I_A \vec{F}(\theta, \varphi). \quad (1.44)$$

Здесь использовано обозначение для волнового сопротивления изотропной среды:

$$Z_c = Z_0 / \sqrt{\epsilon}, \quad Z_0 = \sqrt{\mu_0 / \epsilon_0} = 120\pi \text{ (Ом)}. \quad (1.45)$$

Для холодной изотропной плазмы

$$Z_c = Z_0 / \sqrt{\epsilon(\omega)}, \quad (1.46)$$

λ - длина волны в среде, $\vec{F}(\theta, \varphi)$ - в общем случае комплексная векторная характеристика направленности и поляризации электрического поля в волновой зоне, нормированная на единицу; h_g - действующая длина линейной антенны.

В случае апертурных антенн вместо действующей длины используется другой параметр - эффективная площадь антенны

$$S_{\text{эф}} = \lambda^2 D / 4\pi, \quad (1.47)$$

где λ - длина волны в среде, D - коэффициент направленного действия. Эффективная площадь антенны определяет величину максимальной мощности, которая извлекается приемной антенной из падающей электромагнитной волны. В дальнейшем здесь не рассматриваются апертурные антенны, а более подробные сведения об $S_{эф}$ можно найти в работах [1 - 3].

Поляризационные характеристики линейных антенн содержатся в соотношениях (I.26) - (I.29), (I.44) и обсуждены только в связи с конкретными примерами.

В качестве примера рассмотрим поле элементарного электрического диполя в безграничной изотропной холодной плазме. Поместим диполь в начале сферической системы координат и направим его вдоль полярной оси. Распределение тока в диполе представим в виде

$$j_s = I_z \ell \delta(\vec{R}), \quad (I.48)$$

где $I_z \ell = p$ - токовый момент диполя, $\delta(\vec{R})$ - дельта-функция Дирака. Подставив (I.48) в (I.I4), найдем компоненты векторного потенциала

$$\begin{aligned} A_z &= \frac{\mu_0 p}{4\pi R} \cos \theta e^{-ikR}, \\ A_\theta &= -\frac{\mu_0 p}{4\pi R} \sin \theta e^{-ikR}, \\ A_\varphi &= 0 \end{aligned} \quad (I.49)$$

Используя выражения (I.9) и (I.I0), запишем компоненты электрического и магнитного полей

$$E_z = \frac{p \cos \theta}{2\pi i \omega \epsilon \epsilon_0 R^3} (1 + ikR) e^{-ikR}, \quad (I.50)$$

$$E_\theta = \frac{p \sin \theta}{4\pi i \omega \epsilon \epsilon_0 R^3} [1 + ikR + (ikR)^2] e^{-ikR},$$

$$H_{\varphi} = \frac{\rho \sin \theta}{4\pi R^2} (1 + ikR) e^{-ikR}, \quad (1.50)$$

$$E_{\varphi} = H_z = H_{\theta} = 0.$$

Полученные выражения определяют электромагнитные поля, создаваемые в однородной изотропной плазме элементарным электрическим диполем.

В волновой зоне при $kR \gg 1$, в соответствии с (1.26) и (1.27), поле имеет две отличные от нуля компоненты

$$E_{\theta} = i \frac{\rho k Z_c \sin \theta}{4\pi R} e^{-ikR}, \quad (1.51)$$

$$H_{\varphi} = i \frac{\rho k \sin \theta}{4\pi R} e^{-ikR}.$$

Таким образом, электромагнитное поле элементарного электрического диполя в волновой зоне является поперечным. Вектор Пойнтинга имеет только радиальную компоненту

$$S_z = \frac{\rho^2 k^2 Z_c \sin^2 \theta}{32 \pi^2 R^2}. \quad (1.52)$$

Диаграмма направленности может быть записана в виде

$$W(\theta, \varphi) = W(\theta) = \frac{\rho^2 k^2 Z_c \sin^2 \theta}{32 \pi^2 R^2}. \quad (1.52')$$

Для характеристики направленных свойств излучателей обычно используют нормированную диаграмму направленности

$$f(\theta, \varphi) = \frac{W(\theta, \varphi)}{W_{\max}}. \quad (1.53)$$

Диаграмма направленности элементарного электрического диполя имеет вид

$$f(\theta, \varphi) = f(\theta) = \sin^2 \theta \quad (I.54)$$

Используя соотношения (I.34) и (I.54), легко подсчитать коэффициент направленного действия D . Он равен

$$D = 3/2, \quad (I.55)$$

то есть мощность, излучаемая элементарным диполем в направлении главного максимума в полтора раза превосходит мощность, излучаемую гипотетическим изотропным излучателем.

Полную мощность W_0 , можно подсчитать проинтегрировав (I.52) по поверхности сферы радиуса R . В результате получаем полную мощность, излучаемую диполем

$$W_0 = \frac{p^2 k^2 Z_c}{12 \pi}. \quad (I.56)$$

Отсюда, с учетом (I.35), следует, что сопротивление излучения элементарного диполя

$$R_{\Sigma} = 20 \sqrt{\epsilon} (k \cdot \ell)^2 \text{ (Ом)}. \quad (I.57)$$

Выражение (I.51) для напряженности электрического поля элементарного диполя в волновой зоне может быть представлено в виде (I.44). При этом действующая длина элементарного диполя

$$h_g = \ell, \quad (I.58)$$

а функция $\vec{F}(\theta, \varphi)$ имеет вид

$$\vec{F}(\theta, \varphi) = i \sin \theta \cdot \vec{\ell}_0 \quad (I.59)$$

где $\vec{\ell}_0$ — единичный орт, соответствующий координате θ .

Приведенные выше основные параметры элементарного излучателя в изотропной холодной плазме получены в предположении положительных значений относительной диэлектрической проницаемости. В изотропной холодной плазме

$$\varepsilon = 1 - \omega_p^2 / \omega^2, \quad (1.60)$$

где ω_p - плазменная частота. Следовательно, вблизи плазменного резонанса, т.е. на частотах $\omega \approx \omega_p$ компоненты электрического поля E_z и E_θ имеют особенность. При $\omega \rightarrow \omega_p$ излучаемая мощность $W_0 \rightarrow 0$. На частотах $\omega < \omega_p$ диэлектрическая проницаемость отрицательна, излучаемая мощность и сопротивление излучения становятся чисто мнимыми. Это связано с тем, что на частотах ниже плазменной среда становится непрозрачной для электромагнитных волн.

1.2 Методы расчета распределения тока и входного импеданса антенны.

В разделе 1.1 на примере элементарного диполя были рассмотрены способы вычисления основных параметров антенн - диаграммы направленности и сопротивления излучения. Аналогично могут быть рассчитаны характеристики линейных излучателей произвольных размеров, если распределение тока в них известно.

В этом разделе рассматривается задача о нахождении распределения тока в антенне, находящейся в холодной изотропной плазме. Получено интегро-дифференциальное уравнение тока и обсуждаются некоторые приближенные методы его решения. Описаны способы вычисления входного импеданса антенны.

Пусть антенна представляет собой два сплошных металлических цилиндра радиусом a и длиной L , разделенные между собой промежутком толщиной $2\Delta z$ (см. рис. 1.3). Между плечами диполя включен источник ЭДС, создающий в "зазоре" электрическое поле с напряженностью E_z^0 . Если металл, из которого изготовлена антенна, является идеально проводящим, то ток будет течь лишь по поверхности. Плотность поверхностного тока \vec{j}_s может быть записана в виде

$$\vec{j}_s = \frac{I(z)}{2\pi a} \delta(z-a) \vec{l}_z, \quad (1.61)$$

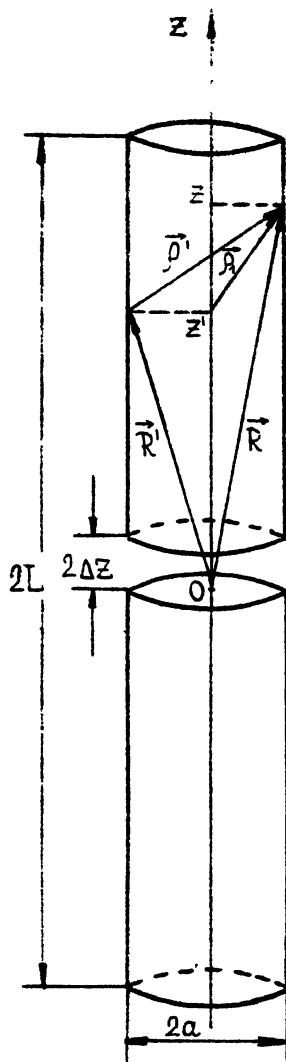


Рис. 1.3

где $I(z)$ - полный ток в антенне, \vec{e}_z - единичный вектор вдоль оси Z . (Используется цилиндрическая система координат r, φ, z с осью Z , направленной вдоль оси диполя). На поверхности диполя тангенциальная компонента электрического поля должна обращаться в нуль. Следовательно, граничное условие можно представить в виде

$$E_z^s(z=a) + E_z(z=a) = 0, \quad (1.62)$$

где E_z - Z -я компонента напряженности электрического поля, создаваемая поверхностными токами.

Выразим E_z через полный ток в антенне. Для этого воспользуемся соотношением (I.18). Учитывая, что сторонний ток направлен по оси Z , запишем [18]

$$E_z = -i \frac{Z_c}{8\pi^2 k} \left(\frac{d^2}{dz^2} + k^2 \right) \int_0^{2\pi} \int_{-L}^L I(z') \frac{e^{-ik\rho'}}{\rho'} d\varphi' dz', \quad (1.63)$$

где

$$\rho' = \left[2a^2 (1 - \cos\varphi') + (z - z')^2 \right]^{1/2}$$

Подставив (I.63) в (I.62), получим следующее интегро-дифференциальное уравнение для тока

$$E_z^s = i \frac{Z_c}{8\pi^2 k} \left(\frac{d^2}{dz^2} + k^2 \right) \int_0^{2\pi} \int_{-L}^L I(z') \frac{e^{-ik\rho'}}{\rho'} d\varphi' dz'. \quad (1.64)$$

Точное решение уравнения (I.64) можно получить лишь численными методами. Однако, используя некоторые упрощающие предположения, можно получить приближенные решения, которые с достаточной степенью точности описывают реальное распределение тока в антенне. Для этого заменим в ядре уравнения ρ' на ρ_1 , ρ_1 определяется выражением

$$\rho_1 = \left[a^2 + (z - z')^2 \right]^{1/2}. \quad (1.65)$$

Такая замена означает, что ток протекает по оси диполя. Если диполь

достаточно тонкий ($a/L \ll 1$), то получается решение, хорошо согласующееся с данными эксперимента.

Решение уравнения (I.64) можно получить, перейдя от интегрирования по Z' к интегрированию по ρ_1 .

Из (I.65) следует, что

$$\begin{aligned} Z' &= Z - [\rho_1^2 - a^2]^{1/2} && \text{при } Z' < Z, \\ Z' &= Z + [\rho_1^2 - a^2]^{1/2} && \text{при } Z < Z'. \end{aligned} \quad (\text{I.66})$$

Тогда

$$\begin{aligned} \frac{dZ'}{\rho_1} &= -\frac{d\rho_1}{\sqrt{\rho_1^2 - a^2}} = -d \left\{ \ln \left[\rho_0 (\rho_1 + \sqrt{\rho_1^2 - a^2}) \right] \right\}, && Z > Z', \\ \frac{dZ'}{\rho_1} &= \frac{d\rho_1}{\sqrt{\rho_1^2 - a^2}} = d \left\{ \ln \left[\rho_0 (\rho_1 + \sqrt{\rho_1^2 - a^2}) \right] \right\}, && Z' > Z, \end{aligned} \quad (\text{I.67})$$

где ρ_0 - произвольная константа интегрирования, которую можно выбрать, в частности, равной k .

С учетом (I.66) и (I.67) уравнение (I.64) приводится к виду

$$\begin{aligned} i \frac{Z_c}{4\pi k} \left(\frac{d^2}{dZ^2} + k^2 \right) &\left\{ - \int_{-L}^Z I(Z') e^{-ik\rho_1} d \ln \left[\rho_0 (\rho_1 + \sqrt{\rho_1^2 - a^2}) \right] + \right. \\ &\left. + \int_{Z'}^L I(Z') e^{-ik\rho_1} d \ln \left[\rho_0 (\rho_1 + \sqrt{\rho_1^2 - a^2}) \right] \right\} = E_Z^{\downarrow}. \end{aligned} \quad (\text{I.68})$$

Интегрируя по частям и учитывая граничные условия для тока

$$I(-L) = 0, \quad I(L) = 0, \quad (\text{I.69})$$

получаем

$$-i \frac{Z_c}{4\pi k} \left(\frac{d^2}{dZ^2} + k^2 \right) \left\{ 2I(Z) e^{-ika} \ln(ka) - \int_{-L}^Z \ln \left[k(\rho_1 + \sqrt{\rho_1^2 - a^2}) \right] d \left[I(Z') e^{-ik\rho_1} \right] - \right.$$

$$-\int_{z'}^L \ln \left[k(\rho_1 + \sqrt{\rho_1^2 - a^2}) \right] d \left[I(z') e^{-ik\rho_1} \right] \Bigg\} = E_z^{\pm} \quad (I.70)$$

Введем обозначения: $\Omega = 2 \ln(ka),$ (I.71)

$$G = i \frac{z_c}{4\pi k} \left(\frac{d^2}{dz^2} + k^2 \right) \int_{-L}^L \operatorname{sign}(z-z') \ln \left\{ k \left[\sqrt{(z-z')^2 + a^2} + (z-z') \right] \right\} \times \frac{d}{dz'} \left[I(z') \exp(-ik \sqrt{a^2 + (z-z')^2}) \right] dz' \quad (I.72)$$

Учтем, что $ka \ll 1$, и положим в (I.70) $e^{-ika} \approx 1$. Тогда (I.70) примет вид

$$\frac{d^2 I(z)}{dz^2} + k^2 I(z) = i \frac{4\pi k}{z_c \Omega} \left[G(I, z) + E_z^{\pm} \right]. \quad (I.73)$$

Это уравнение может быть решено методом последовательных приближений. Представим $I(z)$ в виде ряда по степеням малого параметра $1/\Omega$

$$I(z) = I_0(z) + \frac{1}{\Omega} I_1(z) + \frac{1}{\Omega^2} I_2(z) + \dots \quad (I.74)$$

Аналогично запишем

$$G(I, z) = G(I_0, z) + \frac{1}{\Omega} G(I_1, z) + \frac{1}{\Omega^2} G(I_2, z) + \dots \quad (I.75)$$

Подставляя (I.74) и (I.75) в (I.73), получим систему уравнений последовательных приближений

$$\frac{d^2 I_0}{dz^2} + k^2 I_0 = 0, \quad (I.76)$$

$$\frac{d^2 I_1}{dz^2} + k^2 I_1 = i \frac{4\pi k}{Z_0} \left[G(I_0, z) + E_z^s \right], \quad (I.77)$$

$$\frac{d^2 I_2}{dz^2} + k^2 I_2 = i \frac{4\pi k}{Z_0} G(I_1, z). \quad (I.78)$$

Решение уравнения нулевого приближения (I.76) может быть записано в виде

$$I_0(z) = C_1 \sin kz + C_2 \cos kz. \quad (I.79)$$

Это решение удовлетворяет граничным условиям (I.69) при

$$\sin(2kL) = 0, \quad (I.80)$$

откуда

$$L = n \lambda / 4, \quad n = 1, 2, \dots, \quad (I.81)$$

где n - целое число.

При L , не удовлетворяющем условиям (I.81), $I_0(z) \equiv 0$ и $G_0(I_0, z) \equiv 0$. Уравнение (I.77) в этом случае принимает вид

$$\frac{d^2 I_1}{dz^2} + k^2 I_1 = i \frac{4\pi k}{Z_0} E_z^s. \quad (I.82)$$

Можно показать, что решение уравнения (I.82), удовлетворяющее граничным условиям,

$$I_1(-L) = I_1(L) = 0, \quad (I.83)$$

имеет вид

$$I_1(z) = -i \frac{4\pi}{Z_0 \sin 2kL} \left\{ \sin[k(L-z)] \int_{-L}^z E_z^s(z') \sin[k(L+z')] dz' + \right.$$

$$+ \sin [k(L+z)] \int_z^L E_z^s(z') \sin [k(L-z')] dz' \left. \right\}. \quad (I.84)$$

Из выражения (I.84) видно, что в первом приближении $I_1(z)$ определяется видом функции $E_z^s(z')$. Предположим, что E_z^s отлична от нуля лишь в зазоре толщиной $2\Delta z$. Обозначим

$$\xi^s = \int_{-\Delta z}^{\Delta z} E_z^s(z') dz'. \quad (I.85)$$

Тогда

$$I_1(z) = -i \frac{2\pi \xi^s}{Z_c \cos kL} \sin [k(L+z)] \quad \text{при} \quad z < -\Delta z, \quad (I.86')$$

$$I_1(z) = -i \frac{2\pi \xi^s}{Z_c \cos kL} \sin [k(L-z)] \quad \text{при} \quad z > \Delta z.$$

Выражения (I.86) при $\Delta z \rightarrow 0$ могут быть представлены в виде

$$I_1(z) = -i \frac{2\pi \xi^s}{Z_c \cos kL} \sin [k(L-|z|)]. \quad (I.87)$$

Формула (I.87) позволяет определить входной импеданс антенны, который в соответствии с (I.36) определяется выражением

$$Z_A = \frac{\xi^s}{I(0)} = \frac{2\pi \xi^s}{I_1(0)} = i \frac{Z_c}{\pi} \ln(ka) \operatorname{ctg}(kL). \quad (I.88)$$

В первом приближении входной импеданс антенны является чисто мнимым. Для определения реальной части Z_A надо найти следующее приближение для тока.

Распределение тока в антенне может быть найдено более простым методом, в основе которого лежит приближение квазистатики. Будем считать, что выполняются следующие условия:

$$a \ll L, \quad a \ll \lambda. \quad (I.89')$$

Электромагнитные поля вблизи антенны, т.е. на расстоянии $z \ll \lambda$ могут быть найдены из уравнений (I.1) и (I.3) и представлены в виде [13]

$$H_{\varphi} = \frac{I(z)}{2\pi z} + \delta H, \quad (I.90)$$

$$E_z = \frac{Q_z(z)}{2\pi\epsilon\epsilon_0 z} + \delta E, \quad (I.91)$$

где $I(z)$ - полный ток в антенне,
 $Q(z)$ - линейная плотность заряда.

В выражениях (I.90) и (I.91) первые слагаемые описывают квазистатические поля, а величины δH и δE - поправки к ним, связанные с излучением. Ток $I(z)$ и плотность заряда $Q_z(z)$, как это следует из (I.5), связаны между собой соотношением

$$\frac{dI(z)}{dz} + i\omega Q_z(z) = 0. \quad (I.92)$$

Из уравнения (I.2) следует

$$\frac{\partial E_z}{\partial z} = \frac{\partial E_z}{\partial z} + i\omega\mu_0 H_{\varphi}. \quad (I.93)$$

Подставляя в (I.93) выражения (I.90), (I.91) и принимая во внимание уравнение непрерывности (I.92), получаем

$$\frac{\partial E_z}{\partial z} = \frac{i\omega\mu_0}{2\pi^2 z} I(z) + \frac{1}{2\pi\epsilon\epsilon_0\omega z} \frac{d^2 I(z)}{dz^2} + \delta, \quad (I.94)$$

где δ - полная поправка, связанная с излучением. Проинтегрируем (I.94) по z от $z=a$ до $z=l^* > a$. В результате получаем

$$E_z(z=a) = \frac{\ln(l^*/a)}{2\pi i\omega\epsilon\epsilon_0} \left[\frac{d^2 I(z)}{dz^2} + k^2 I(z) \right] - \int_a^{l^*} \delta dz - E_z(z=l^*). \quad (I.95)$$

Введем величину

$$G(I) = -E_z(z=\ell^*) - \int_a^{\ell^*} \delta dz, \quad (I.96)$$

которая является линейным однородным функционалом $I(z)$. Конкретный вид этого функционала в дальнейшем рассматриваться не будет.

Предположим, что на поверхности антенны при $z=a$ выполняется граничное условие (I.62). Подставив (I.95) в (I.62), получим уравнение, определяющее распределение тока в антенне

$$\frac{d^2 I(z)}{dz^2} + k^2 I(z) = -\frac{4\pi ik}{Z_0 \Omega^*} \left[E_z^s + G(I) \right], \quad (I.97)$$

где $\Omega^* = 2 \ln(\ell^*/a)$.

До сих пор мы не конкретизировали величину ℓ^* . Она может быть выбрана из следующих соображений. Квазистатическое приближение (I.90), (I.91) справедливо до расстояний z , не превышающих λ и L . Поэтому в качестве ℓ^* разумно взять наименьшую из этих величин. Заметим, что свобода в выборе ℓ^* приведет к незначительной ошибке в окончательном результате в силу того, что функция $\Omega^* = 2 \ln(\ell^*/a)$ достаточно слабо меняется при изменении аргумента. Если положить $\ell^* = \lambda/2\pi = 1/k$, то $\Omega^* = -\Omega$, и уравнение (I.97) совпадает с уравнением (I.73), полученным из интегро-дифференциального уравнения (I.68).

Заметим, что выражение (I.88) для входного импеданса антенны неприменимо при $kL = m\pi$, где $m = 1, 2, \dots$ - целое число. Формула (I.88) приводит к бесконечным значениям импеданса в тех случаях, когда длина плеча антенны L равна целому числу полувольт. В связи с этим возникает необходимость в получении приближенных функций распределения тока в антенне, пригодных для "настроенных" антенн ($L = m \lambda/2$). Методика получения уравнений для тока в антенне в этих случаях приводится в монографии [2].

Для линейной антенны в соответствии с (I.I4) выражение для Z -компоненты векторного потенциала имеет вид

$$A_z = \frac{\mu_0}{4\pi} \int_{-L}^L I(z') \frac{e^{-ikz}}{z} dz' \quad (I.98)$$

Используя (I.18), запишем выражение для вертикальной компоненты вектора напряженности электрического поля

$$\vec{E}_z = -i \frac{\omega}{k^2} \left(\frac{\partial^2 A_z}{\partial z^2} + k^2 A_z \right) \quad (I.99)$$

Для идеальной проводящей антенны $E_z = 0$ всюду на поверхности диполя, за исключением области "зазора". С учетом этого из (I.99) следует, что

$$A_z = -i \frac{\hat{c}}{\omega} \left[C_1 \cos(kz) + C_2 \sin(k|z|) \right] \quad (I.100)$$

В соответствии с (I.87) $C_2 = \hat{c}^3/2$ и

$$A_z = -i \frac{k}{\omega} \left[C_1 \cos(kz) + \frac{1}{2} \hat{c}^3 \sin(k|z|) \right] \quad (I.101)$$

Приравнявая (I.98) и (I.101), получаем интегральное уравнение для тока в антенне [2]

$$i \frac{Z_0}{4\pi} \int_{-L}^L I(z') \frac{e^{-ikR}}{z} dz' = C_1 \cos(kz) + \frac{1}{2} \hat{c}^3 \sin(k|z|) \quad (I.102)$$

Решение уравнения (I.102) может быть найдено в виде разложения по степеням малого параметра I/Ω , где Ω определяется формулой (I.71). Используя условие равенства нулю тока при $z = \pm L$, получаем

$$I(z) = i \frac{2\pi \hat{c}^3}{Z_0 \Omega} \frac{\sin[k(L-|z|)] + 1/\Omega \beta_1(z)}{\cos(kL) + 1/\Omega \alpha_1(z)} \quad (I.103)$$

Выражения для функций $\alpha_1(z)$ и $\beta_1(z)$ могут быть получены из (I.102),

если взять интеграл в левой части (I.102) по частям.

Из выражения (I.103) можно получить формулу для входного импеданса антенны

$$Z_A = -l \frac{Z_0 \Omega}{2\pi} \frac{\cos(kL) + \alpha_1(0)/\Omega}{\sin(kL) + \beta_1(0)/\Omega} \quad (\text{I.104})$$

Графики зависимости функций $\alpha_1(0)$ и $\beta_1(0)$ от отношения L/λ приведены на рис. I.4, I.5.

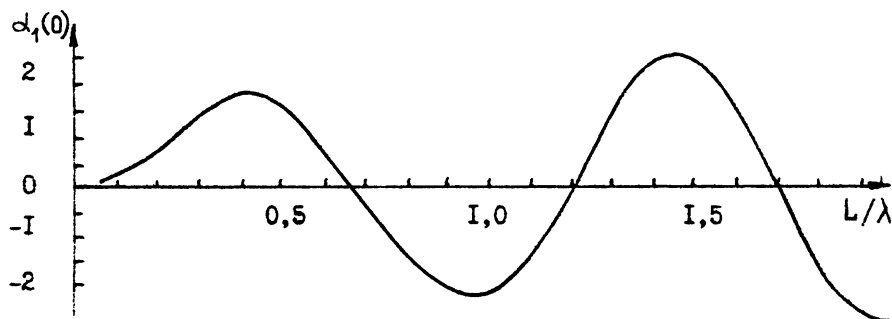
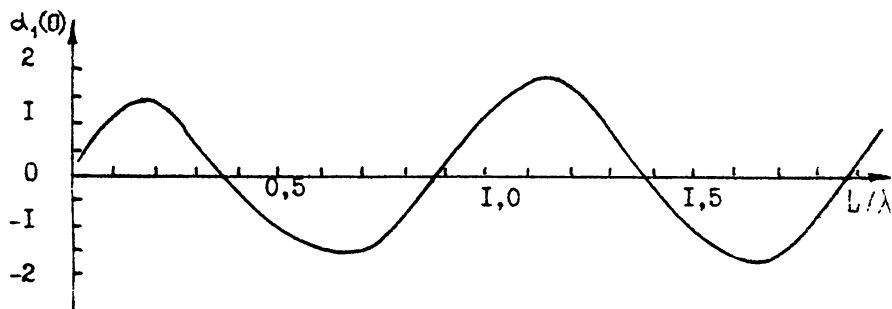


Рис. I.4.

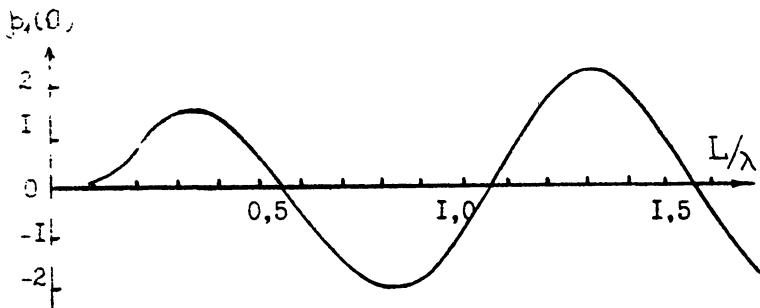
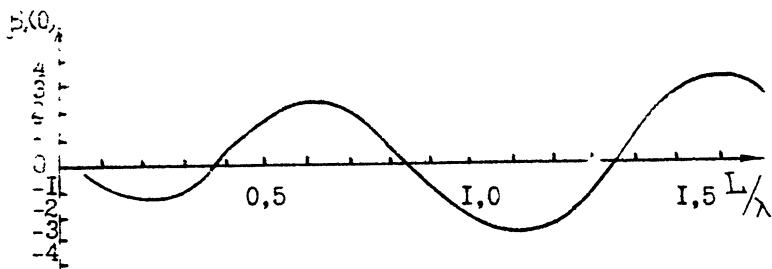


Рис. I.5.

В силу условия $|\Omega| \gg 1$ выражение (I.104) переходит в (I.88) при $L \neq m\lambda/2$. Для "настроенных" антенн из (I.104) следует

$$Z_A = -i \frac{Z_0 \Omega^2 \alpha_1(0)}{2\pi \beta_1(0)} \quad (\text{I.105})$$

Решение интегральных уравнений (I.68), (I.102) показало, что в первом приближении распределение тока в антенне можно считать синусоидальным. В этом случае для определения входного импеданса антенны применим метод теории длинных линий.

Для определения характеристик дипольной антенны вводится эквивалентная схема: симметричный вибратор (рис. I.6) заменяется эквивалентной разомкнутой длиной линии (рис. I.7).

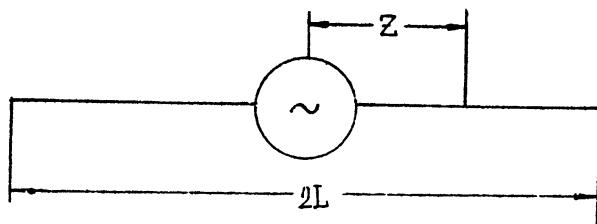


Рис. I.6.

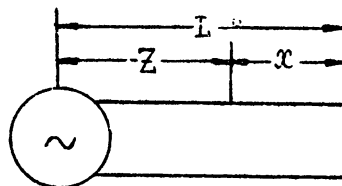


Рис. I.7.

Режим работы идеальной длинной линии, в которой пренебрегается джоулевыми потерями и потерями на излучение, описывается уравнениями [18, 19]

$$I(x) = I_H \cos kx + i \frac{U}{\rho_g} \sin kx, \quad (I.106)$$

$$U(x) = U_H \cos kx + i I_H \rho_g \sin kx,$$

где ρ_g - волновое сопротивление линии, U_H и $U(x)$ - разность потенциалов между проводами линии в точке присоединения нагрузки $X=0$ и на расстоянии X от нее, I_H и $I(x)$ - токи в этих же точках. Для замкнутой линии $I_H=0$. Поэтому (I.106) можно переписать в следующем виде

$$I(z) = I_0 \frac{U_n}{\rho_\xi} \sin [k(L - |z|)] = I_0 \sin [k(\ell - |z|)], \quad (I.107)$$

$$U(z) = U_n/2 \cos [k(L - |z|)].$$

Выражения (I.107) позволяют определить входной импеданс антенны

$$Z_A = -i\rho_\xi \operatorname{ctg}(kL). \quad (I.108)$$

Волновое сопротивление ρ_ξ для линейной антенны определяется формулой

$$\rho_\xi = \frac{120}{\sqrt{\epsilon}} (\ln L/a - 1) \quad (\text{Ом}). \quad (I.109)$$

Как видно из сопоставления формул (I.88) и (I.108), метод теории длинных линий позволяет вычислить импеданс дипольной антенны с достаточной для практических расчетов точностью.

Значительно более эффективным и более употребительным в настоящее время является метод наводимых ЭДС. Наиболее подробно он изложен в монографии [20]. С помощью этого метода возможен расчет взаимного влияния близко расположенных антенн. Применение этого метода требует задания токов в элементах излучающей системы, что вносит некоторую неопределенность в конечный результат.

Рассмотрим излучающую систему, состоящую из n элементов. К каждому из элементов приложены напряжения U_k и в них текут токи I_k . При учете влияния элементов друг на друга можно записать следующие соотношения

$$U_1 = I_1 Z_{11} + I_2 Z_{12} + \dots + I_n Z_{1n};$$

.

$$U_k = I_1 Z_{k1} + I_2 Z_{k2} + \dots + I_k Z_{kk} + \dots + I_n Z_{kn};$$

.

$$U_n = I_1 Z_{n1} + I_2 Z_{n2} + \dots + I_n Z_{nn}.$$

Z_{ik} при $i=k$ представляют собой собственные входные импедансы усредненных элементов, при $i \neq k$ - коэффициенты пропорциональности, определяющие влияние токов в других элементах. Коэффициенты Z_{ik} называются взаимными импедансами. При заданных напряжениях на элементах и известных Z_{ik} с помощью системы уравнений (I.II0) можно легко рассчитать амплитуды и фазы токов. Зная токи, можно найти диаграмму направленности системы и входные импедансы элементов. По определению входной импеданс k -го элемента $Z_{k \text{ вх}}$ равен

$$Z_{k \text{ вх}} = \frac{U_k}{I_k} = Z_{k1} \frac{I_1}{I_k} + Z_{k2} \frac{I_2}{I_k} + \dots + Z_{kk} + \dots + Z_{kn} \frac{I_n}{I_k}. \quad (\text{I.III})$$

Для расчета взаимных импедансов без нарушения общности можно рассмотреть пару элементов с одинаковыми токами. Заметим также, что в общем случае, согласно теореме взаимности $Z_{ik} = Z_{ki}$.

Согласно (I.III)

$$Z_{1 \text{ вх}} = Z_{11} + Z_{12}, \quad (\text{I.II2})$$

$$Z_{2 \text{ вх}} = Z_{22} + Z_{21}.$$

Величины $Z_{12} = Z_{21}$ находятся из следующих соображений. Около элемента 1 имеется продольная компонента электрического поля E_{z2} , создаваемая током в элементе 2. Будем считать элементы идеально проводящими. Тогда на N поверхностях

$$E_z = E_{z1} + E_{z2} = 0, \quad (\text{I.II3})$$

где E_{z1} - поле, создаваемое током в элементе 1. Предположим, что при наличии 2-го элемента в 1-ом элементе в каждой точке возникали ЭДС, компенсирующие действие 2-го элемента $dU_{z2} = -E_{z2} dz$. Возникновение этих ЭДС происходит за счет изменения амплитуды и фа-

зи тока I_1 . При наличии dU_{z2} в элементе I расходуется дополнительная мощность, равная

$$P_1 = -1/2 \int I_1^* dU_{z2}. \quad (I.II4)$$

Действительная часть P_1 определяет взаимное, или наводимое, сопротивление излучения, а мнимая - наводимый реактанс.

Таким образом, для расчета Z_{12} следует:

1) Найти поле E_{z2} около I-го элемента.

2) Найти $P_1 = -1/2 \int E_{z2} I_1^* dz_1$.

3) Найти $Z_{12} = 2P_1 / |I_1|^2$.

Вследствии того, что $I_1 = I_2$, а E_{z2} пропорциональна I_2 , нахождение Z_{12} сводится к вычислению интеграла, зависящего от взаимного расположения элементов. Результаты вычислений приводятся в монографиях [19, 20].

Метод наводимых ЭДС может быть использован и для расчета импеданса уединенной антенны. Выражение для Z_{11} может быть получено с помощью совмещения двух идентичных элементов. При этом, естественно, Z_{12} переходит в $Z_{11} = Z_{22}$.

Формула (I.108) или (I.88) позволяет рассчитать входной импеданс дипольной антенны в холодной изотропной плазме. В области частот $\omega > \omega_p$ импеданс имеет емкостной характер. Вблизи плазменного резонанса при $\omega \rightarrow \omega_p$ значение Z_A по модулю неограниченно возрастает. При $\omega < \omega_p$ диэлектрическая проницаемость плазмы становится отрицательной. Положив в (I.108) $\sqrt{\epsilon} = i\sqrt{|\epsilon|}$, приходим к выражению

$$Z_A = i \frac{Z_0}{\pi \sqrt{|\epsilon|}} \ln \left(\frac{L}{a} - 1 \right) \operatorname{ctg} (|k|L). \quad (I.II5)$$

Из (I.II5) следует, что на частотах ниже плазменной частоты импеданс имеет индуктивный характер.

2. АНТЕННА В ИЗОТРОПНОЙ ПЛАЗМЕ СО СЛАБОЙ ПРОСТРАНСТВЕННОЙ ДИСПЕРСИЕЙ

2.1 Одножидкостная модель плазмы с тепловым движением.

В холодной изотропной плазме на распространение волн влияют плазменные или ленгмюровские колебания электронов с частотой $\omega_{pe} = (e^2 N / m_e \epsilon_0)^{1/2}$. Диэлектрическая проницаемость холодной плазмы

$$\epsilon(\omega) = 1 - (\omega_{pe}/\omega)^2 \quad (2.1)$$

указывает на наличие временной дисперсии волн.

Здесь рассматривается более сложная модель плазмы - плазма с учетом теплового движения электронов в приближении слабой пространственной дисперсии. Известно, что в этом приближении в плазме существуют два типа нормальных волн - поперечные электромагнитные и продольные плазменные волны [21 - 23]. Если по-прежнему интересоваться высокочастотными процессами, то новую ветвь нормальных волн - электростатических, плазменных волн, можно приближенно описывать в рамках модели однокомпонентной электронной жидкости (газа) со средней тепловой скоростью электронов

$$C_{se} = \sqrt{\gamma_e \mathcal{K} T_e / m_e}, \quad (2.2)$$

где \mathcal{K} - постоянная Больцмана, T_e - температура электронов, γ_e - показатель адиабаты. Это приближение принято называть слабой пространственной дисперсией.

Электромагнитные процессы малой амплитуды будем описывать следующей системой связанных друг с другом уравнений - уравнениями Максвелла в виде

$$\text{rot } \vec{H} = \vec{j}_s - e N_0 v_e + \epsilon_0 \frac{\partial \vec{E}}{\partial t}, \quad (2.3)$$

$$\operatorname{rot} \vec{E} = -\mu_0 \frac{\partial \vec{H}}{\partial t} \quad (2.4)$$

и линейными уравнениями динамики электронной жидкости

$$\rho_{oe} \frac{\partial \vec{v}_e}{\partial t} = -\nabla p_e - e N_0 \vec{E}, \quad (2.5)$$

$$\frac{\partial n_e}{\partial t} + \operatorname{div} N_0 \vec{v}_e = 0, \quad (2.6)$$

$$p_e = C_{se}^2 \rho_e. \quad (2.7)$$

Здесь использованы обозначения: $\rho_{oe} = m_e N_0$ - средняя невозмущенная плотность массы электронов, \vec{v}_e - скорость электронов, p_e и ρ_e - малые возмущения давления плотности электронного газа, n_e - возмущения средней концентрации плазмы $N_e \approx N_i = N_0$, N_i - концентрация ионов. Уравнение (2.5) - линейное уравнение Эйлера при наличии электрического поля, (2.6) - закон сохранения числа частиц, (2.7) - выражает адиабатичность возмущений. Заметим, что в уравнении (2.8) выделен полный средний электрический ток в плазме $\vec{j}_t = -e N_0 \vec{v}_e$, а \vec{j}_s - электрический ток в антенне (сторонний ток).

Получим закон сохранения энергии из системы связанных уравнений (2.3) - (2.7). Умножим скалярно (2.3) на \vec{E} , (2.4) на \vec{H} , (2.5) на \vec{v}_e , уравнение (2.6) на ρ_e/N_0 и сложим их. В результате получим закон сохранения энергии

$$\frac{\partial}{\partial t} \left(\frac{\epsilon_0 \vec{E}^2 + \mu_0 \vec{H}^2}{2} + \frac{\rho^2}{2 \chi_e \rho_0} + \frac{\rho_{oe} \vec{v}_e^2}{2} \right) + \operatorname{div} (p \vec{v}_e + \vec{E} \times \vec{H}) = -(\vec{j}_s \vec{E}). \quad (2.8)$$

Дополнительные слагаемые в выражении для плотности энергии

$$\omega = \frac{\epsilon_0 \vec{E}^2 + \mu_0 \vec{H}^2}{2} + \frac{\rho^2}{2\delta_e \rho_0} + \frac{\rho_{0e} \vec{U}_e^2}{2}, \quad (2.9)$$

в соотношении для вектора Умова-Пойнтинга

$$\vec{S} = \vec{E} \times \vec{H} + \rho \vec{U}_e \quad (2.10)$$

обусловлены учетом теплового движения. В его отсутствии (2.9) содержит только слагаемое $\frac{1}{2} m_e N_0 \vec{U}_e^2$, обусловленное ленгмювскими колебаниями холодной плазмы.

Рассматриваемая модель плазмы со слабой пространственной дисперсией широко используется в физике плазмы как при анализе вопросов распространения [21 - 23], так и в проблеме излучения волн [16, 24, 25].

Заметим, что для монохроматических волн в средах со слабой пространственной дисперсией широко используется также феноменологическое соотношение

$$\vec{D} = \epsilon_0 \epsilon(\omega) \vec{E} + \delta_1 \text{grad div } \vec{E} + \delta_2 \Delta \vec{E}, \quad (2.11)$$

которое подробно обсуждается в монографии [21]. Для конкретной модели однокомпонентной электронной плазмы

$$\delta_1 = \epsilon_0 3 k T_e / (m_e \omega^2), \quad \delta_2 = 0.$$

Более реальная, но вместе с тем и более сложная модель среды может быть получена с использованием метода кинетического уравнения [23]. На основе кинетических уравнений Власова может быть описана динамика электронного газа не только в приближении слабой, но и в приближении сильной пространственной дисперсии, когда становится существенным затухание Ландау и следует учитывать неоднородность плазмы.

Здесь мы ограничимся только рассмотрением слабой пространственной дисперсии в рамках модели однокомпонентной электронной жидкости.

2.2 Излучение в плазме со слабой пространственной дисперсией

В приближении заданных сторонних токов в антенне с плотностью \vec{j}_s из уравнений (2.3) - (2.7) получаем следующие уравнения для напряженностей \vec{E} и \vec{H} :

$$\Delta \vec{H} + k^2 \vec{H} = - \text{rot } \vec{j}_s, \quad (2.12)$$

$$\begin{aligned} \Delta \vec{E} - (1 - c_{se}^2/c^2) \nabla \text{div } \vec{E} + k^2 \vec{E} = \\ = i\omega \mu_0 (\vec{j}_s + c_{se}^2/\omega^2 \nabla \text{div } \vec{j}_s), \end{aligned} \quad (2.13)$$

$$k^2 = \omega^2 \epsilon(\omega) \epsilon_0 \mu_0.$$

Из соотношения (2.12) следует, что слабая пространственная дисперсия в приближении одножидкостной модели совершенно не влияет на магнитные поля в плазме.

Точные решения системы уравнений (2.12) - (2.13) по аналогии с (1.18) , (1.19) могут быть записаны в виде

$$\vec{E} = -\frac{i\omega\mu_0}{4\pi k^2} \left[(\nabla \text{div} + k^2) \int_{-\infty}^{\infty} \frac{\vec{j}_s(\vec{R}') e^{-ik|\vec{R}-\vec{R}'|}}{|\vec{R}-\vec{R}'|} d^3\vec{R}' + \right. \quad (2.14)$$

$$\left. + (\epsilon - 1) \nabla \text{div} \int_{-\infty}^{\infty} \frac{\vec{j}_s(\vec{R}') e^{-ik_s|\vec{R}-\vec{R}'|}}{|\vec{R}-\vec{R}'|} d^3\vec{R}' \right]; \quad (2.15)$$

$$\vec{H} = \text{rot} \int_{-\infty}^{\infty} \frac{\vec{j}_s(\vec{R}') e^{-ik|\vec{R}-\vec{R}'|}}{|\vec{R}-\vec{R}'|} d^3\vec{R}',$$

где $k_3^2 = \omega^2 / c_{3e}^2$.

Из соотношений (2.12) - (2.13) легко получить дисперсионные соотношения для двух типов нормальных волн в плазме со слабой пространственной дисперсией. Для этого следует искать решение в виде плоских волн $\sim \exp(-i\vec{K}\vec{r})$. Тогда

$$\omega^2 = \omega_{pe}^2 + c^2 k^2, \quad (2.16)$$

$$\omega^2 = \omega_{pe}^2 + c_{3e}^2 k^2. \quad (2.17)$$

Вводя показатель преломления $n^2 = c^2 k^2 / \omega^2$, из (2.16), (2.17) получаем

$$n_1^2 = \epsilon(\omega), \quad (2.18)$$

$$n_{3e}^2 = 1/\beta_T^2 \epsilon(\omega), \quad (2.19)$$

где $\beta_T^2 = c_{3e}^2 / c^2 \ll 1$. Отсюда видно, что граница областей прозрачности для поперечных волн с показателем преломления $n = n_1$ и плазменных волн с показателем $n = n_{3e}$ совпадает и определяется условием $\omega = \omega_{pe}$.

Отношение показателей преломления $n_1 / n_{3e} = \beta_T < 1$, т.е. всегда $n_{3e} > n_1$, что отражает малую фазовую скорость плазменных волн.

В волновой зоне, определяемой условиями

$$k_1 L^2 \ll R, \quad k_{3e} L^2 \ll R, \quad (2.20)$$

где L - характерный размер излучающей системы, из соотношений (2.14), (2.15) получаем

$$\vec{E} = \frac{ik_1 Z_c}{4\pi R} \left\{ \vec{n}_0 \times [\vec{n}_0 \times \vec{I}_\kappa] e^{-ik_1 R} + \right. \\ \left. + \frac{1 - \epsilon(\omega)}{\beta_T^2} \vec{n}_0 (\vec{n}_0 \cdot \vec{I}_\kappa^{(s)}) e^{-ik_3 R} \right\}, \quad (2.21)$$

$$\vec{H} = -\frac{ik}{4\pi R} \left[\vec{n}_0 \times \vec{I}_\kappa \right] e^{-ik_1 R} \quad (2.22)$$

По аналогии с (I.23) здесь введено обозначение

$$\vec{I}_\kappa^{(s)} = \int_{-\infty}^{\infty} \vec{j}_s(\vec{R}') e^{ik_s(\vec{R} \cdot \vec{n}_0)} d^3 \vec{R}' \quad (2.23)$$

Из соотношений (2.21), (2.22) видно, что в волновой зоне при учете слабой пространственной дисперсии кроме поперечных электромагнитных волн, в которых \vec{E} и \vec{H} перпендикулярны \vec{n}_0 , появляется чисто продольное плазменное поле.

Отметим некоторые простые следствия выражений (2.21), (2.22): отсутствует магнитное поле плазменных волн, азимутальные электрические токи в кольцевых антеннах не возбуждают плазменных волн в силу условия $(\vec{n}_0 \cdot \vec{I}_\kappa^{(s)}) = 0$. Для произвольного распределения тока $\vec{j}_s(\vec{R})$ электрическое поле плазменных волн

$$\vec{E}_p = \frac{ik_1 \varepsilon_c}{4\pi R \beta_T^2} \frac{\omega_{pe}^2}{\omega^2} \vec{n}_0 (\vec{n}_0 \cdot \vec{I}_\kappa^{(s)}) e^{-ik_s R} \quad (2.24)$$

имеет большую амплитуду в силу малости параметра β_T .

Рассмотрим поле элементарного электрического диполя, распределение тока в котором определяется формулой (I.48), в плазме со слабой пространственной дисперсией. Сравнивая выражения (I.18), (I.19) и (2.21), (2.22), легко убедиться в том, что отличие от излучателя в холодной плазме заключается в появлении аддитивного слагаемого в (2.21), определяющего поле плазменных волн. В связи с этим полное поле в плазме со слабой пространственной дисперсией удобно представить в виде

$$\vec{E} = \vec{E}_{tz} + \vec{E}_p, \quad (2.25)$$

где компоненты вектора \vec{E}_{tz} в сферической системе координат опре-

деляются выражениями (I.50), а плазменное поле \vec{E}_p имеет лишь одну радиальную отличную от нуля компоненту

$$E_{zp} = \frac{ik_1 Z_c}{4\pi \beta_T^2} \frac{\omega_{pe}^2}{\omega^2} \rho \cos \theta \frac{e^{-ik_3 R}}{R}. \quad (2.26)$$

Для нахождения энергетических характеристик излучения элементарного электрического диполя в плазме со слабой пространственной дисперсией удобно воспользоваться выражением для полной излучаемой мощности W_0 , которое в соответствии с (2.8) представим в виде

$$W_0 = -\frac{1}{2} \operatorname{Re} \int_{-\infty}^{\infty} (\vec{j}_s \vec{E}^*) d^3 R. \quad (2.27)$$

Выражение (2.27) описывает работу полного электрического поля \vec{E} над токами в антенне \vec{j}_s . Подставляя в (2.27) ток в виде (I.48) и значение E_z^* в сферических координатах найдем

$$W_0 = \frac{Z_c (k^2 \rho^2)}{32 \pi^2} \int_0^{2\pi} \int_0^\pi \left[f_{tz}(\theta) + \frac{\omega_{pe}^2}{\omega^2} \left(\frac{c}{c_s}\right)^3 f_p(\theta) \right] \sin \theta d\theta d\varphi. \quad (2.28)$$

Здесь по аналогии с (I.54) введены нормированные диаграммы направленности для электромагнитных и продольных волн

$$\begin{aligned} f_{tz}(\theta) &= \sin^2 \theta, \\ f_p(\theta) &= \cos^2 \theta. \end{aligned} \quad (2.29)$$

Из выражений (2.28), (2.29) следует, что максимумы диаграмм направленности для продольных и поперечных волн сдвинуты в пространстве на 90° . Элементарный электрический диполь в изотропной плазме вдоль своей оси излучает лишь плазменные волны, а в поперечном направлении - только электромагнитные.

Принтегрировав (2.28), получаем

$$W_0 = \frac{Z_c (k^2 p^2)}{12 \pi} \left[1 + \frac{1}{2} \frac{\omega_{pe}^2}{\omega^2} \left(\frac{c}{c_s} \right)^3 \right]. \quad (2.30)$$

Первое слагаемое в квадратных скобках определяет мощность, связанную с излучением электромагнитных, а второе - плазменных волн. В силу условия $c/c_s \gg 1$ элементарный диполь в среде со слабой пространственной дисперсией излучает в основном плазменные волны. Это справедливо для элементарного диполя. Вклад в излучаемую мощность продольных волн падает с увеличением размеров источника.

Сопротивление излучения элементарного диполя в плазме с учетом слабой пространственной дисперсии также удобно представить в виде двух слагаемых

$$R_{\Sigma} = 20 (k_0 \ell)^2 \sqrt{\epsilon} \left[1 + \frac{1}{2} \frac{\omega_{pe}^2}{\omega^2} \left(\frac{c}{c_s} \right)^3 \right]. \quad (2.31)$$

Из (2.31) видно, что R_{Σ} определяется в основном излучением плазменных волн.

Дата поступления статьи
1 апреля 1987 г.

С о д е р ж а н и е

Часть I

Введение	3
I. АНТЕННА В ИЗОТРОПНОЙ ХОЛОДНОЙ ПЛАЗМЕ	6
I.1. Основные параметры антенн в среде	6
I.2. Методы расчета распределения тока и входного импеданса антенны	17
2. АНТЕННА В ИЗОТРОПНОЙ ПЛАЗМЕ СО СЛАБОЙ ПРОСТРАНСТВЕННОЙ ДИСПЕРСИЕЙ	33
2.1. Одножидкостная модель плазмы с тепловым движением	33
2.2. Излучение в плазме со слабой пространственной дисперсией	36

Часть II

3. АНТЕННА В ХОЛОДНОЙ МАГНИТОАКТИВНОЙ ПЛАЗМЕ	43
3.1. Излучение электрического диполя в магнитоактивной плазме	43
3.2. Входной импеданс симметричного электрического вибратора в холодной магнитоактивной плазме	57
3.2.1. Вибратор в сильно замагниченной плазме ($\omega_{He} > \omega_{pe}$)	61
3.2.2. Электрический вибратор в плотной слабозамагниченной плазме ($\omega_{He} < \omega_{pe}$)	65
Литература	71

Владимир Платонович Докучаев
Алла Ефимовна Крупина
Лев Михайлович Оболенский
Владимир Александрович Яшинов

ОСНОВЫ ТЕОРИИ ЭЛЕКТРИЧЕСКИХ ВИБРАТОРНЫХ АНТЕНН В ПЛАЗМЕ

Часть 1

Подписано в печать 17.06.87 г. МЦ 00952. Формат 60x84 1/16.

Бумага множительная. Печать офсетная. Объем 2,48 усл. п. л.

№ таб 4589. Тираж 120. Бесплатно

Отпечатано на ротативе НИРФИ